

UIT-R

Sector de Radiocomunicaciones de la UIT

Recomendación UIT-R P.1812-1
(10/2009)

**Método de predicción de la propagación
específico del trayecto para servicios
terrenales punto a zona en las bandas
de ondas métricas y decimétricas**

Serie P
Propagación de las ondas radioeléctricas



Prólogo

El Sector de Radiocomunicaciones tiene como cometido garantizar la utilización racional, equitativa, eficaz y económica del espectro de frecuencias radioeléctricas por todos los servicios de radiocomunicaciones, incluidos los servicios por satélite, y realizar, sin limitación de gamas de frecuencias, estudios que sirvan de base para la adopción de las Recomendaciones UIT-R.

Las Conferencias Mundiales y Regionales de Radiocomunicaciones y las Asambleas de Radiocomunicaciones, con la colaboración de las Comisiones de Estudio, cumplen las funciones reglamentarias y políticas del Sector de Radiocomunicaciones.

Política sobre Derechos de Propiedad Intelectual (IPR)

La política del UIT-R sobre Derechos de Propiedad Intelectual se describe en la Política Común de Patentes UIT-T/UIT-R/ISO/CEI a la que se hace referencia en el Anexo 1 a la Resolución UIT-R 1. Los formularios que deben utilizarse en la declaración sobre patentes y utilización de patentes por los titulares de las mismas figuran en la dirección web <http://www.itu.int/ITU-R/go/patents/es>, donde también aparecen las Directrices para la implementación de la Política Común de Patentes UIT-T/UIT-R/ISO/CEI y la base de datos sobre información de patentes del UIT-R sobre este asunto.

Series de las Recomendaciones UIT-R

(También disponible en línea en <http://www.itu.int/publ/R-REC/es>)

Series	Título
BO	Distribución por satélite
BR	Registro para producción, archivo y reproducción; películas en televisión
BS	Servicio de radiodifusión sonora
BT	Servicio de radiodifusión (televisión)
F	Servicio fijo
M	Servicios móviles, de radiodeterminación, de aficionados y otros servicios por satélite conexos
P	Propagación de las ondas radioeléctricas
RA	Radio astronomía
RS	Sistemas de detección a distancia
S	Servicio fijo por satélite
SA	Aplicaciones espaciales y meteorología
SF	Compartición de frecuencias y coordinación entre los sistemas del servicio fijo por satélite y del servicio fijo
SM	Gestión del espectro
SNG	Periodismo electrónico por satélite
TF	Emisiones de frecuencias patrón y señales horarias
V	Vocabulario y cuestiones afines

Nota: Esta Recomendación UIT-R fue aprobada en inglés conforme al procedimiento detallado en la Resolución UIT-R 1.

Publicación electrónica
Ginebra, 2010

© UIT 2010

Reservados todos los derechos. Ninguna parte de esta publicación puede reproducirse por ningún procedimiento sin previa autorización escrita por parte de la UIT.

RECOMENDACIÓN ITU-R P.1812-1

**Método de predicción de la propagación específico del trayecto
para servicios terrenales punto a zona en las bandas
de ondas métricas y decimétricas**

(Cuestión UIT-R 203/3)

(2007-2009)

Cometido

En la presente Recomendación se describe un método de predicción de la propagación adaptado a los servicios terrenales punto a zona en la gama de frecuencias comprendida entre 30 MHz y 3 GHz cuyo fin es evaluar detalladamente los niveles de señal rebasados durante un porcentaje de tiempo, $p\%$, donde $1\% \leq p \leq 50\%$, y en un porcentaje dado de ubicaciones, p_L , donde $1\% \leq p_L \leq 99\%$. El método proporciona un análisis detallado basado en el perfil del terreno.

Conviene utilizar el método para realizar predicciones en sistemas de radiocomunicaciones que emplean circuitos terrenales con trayectos que van desde 0,25 km hasta unos 3 000 km de longitud, con los dos terminales ubicados a una altura de hasta unos 3 km sobre el suelo. No conviene utilizar el método para predecir la propagación en circuitos radioeléctricos aire-suelo ni espacio-Tierra.

Esta Recomendación es un complemento a la Recomendación UIT-R P.1546.

La Asamblea de Radiocomunicaciones de la UIT,

considerando

- a) la necesidad de facilitar directrices a los ingenieros para la planificación de los servicios de radiocomunicaciones terrenales en las bandas de ondas métricas y decimétricas;
- b) la importancia de determinar la distancia geográfica mínima entre las estaciones que trabajan en canales que utilizan las mismas frecuencias o en canales adyacentes, a fin de evitar la interferencia inaceptable debida a la propagación terrenal a gran distancia,

observando

- a) que la Recomendación UIT-R P.528 proporciona directrices sobre la predicción y la pérdida del trayecto de punto a zona para el servicio móvil aeronáutico en la gama de frecuencias 125 MHz a 30 GHz y para distancias de hasta 1 800 km;
- b) que la Recomendación UIT-R P.452 proporciona directrices para la evaluación detallada de la interferencia en microondas entre estaciones situadas en la superficie de la Tierra a frecuencias superiores a unos 0,7 GHz;
- c) que la Recomendación UIT-R P.617 proporciona directrices sobre la predicción de la pérdida del trayecto punto a punto en sistemas de radioenlaces transhorizonte en frecuencias superiores a 30 MHz y distancias entre 100 y 1 000 km;
- d) que la Recomendación UIT-R P.1411 proporciona directrices sobre la predicción para servicios de exteriores de corto alcance (hasta 1 km);
- e) que la Recomendación UIT-R P.530 proporciona directrices sobre la predicción de la pérdida del trayecto punto a punto en sistemas terrenales con visibilidad directa;
- f) que la Recomendación UIT-R P.1546 proporciona directrices sobre la predicción de intensidades de campo punto a zona en las bandas de ondas métricas y decimétricas, basándose principalmente en análisis estadísticos de datos experimentales,

recomienda

1 que se adopte el procedimiento indicado en el Anexo 1 para la evaluación detallada de los niveles de las señales punto a zona asociadas a estos servicios.

Anexo 1

1 Introducción

Se recomienda aplicar el método de predicción de la propagación descrito en el presente Anexo para la evaluación detallada de los niveles de señal apropiados relativos a los servicios terrenales punto a zona en las bandas de ondas métricas y decimétricas. El método predice el nivel de señal (es decir, la intensidad de campo eléctrico) rebasado durante un porcentaje dado, $p\%$, de un año medio, donde $1\% \leq p \leq 50\%$, y en $p_L\%$ de ubicaciones, donde $1\% \leq p_L \leq 99\%$. Por consiguiente, el método se puede utilizar para predecir tanto la zona de servicio y la disponibilidad para un nivel de señal deseado (cobertura) como la reducción de esta zona y de la disponibilidad ocasionada por señales no deseadas, cocanal y/o de canal adyacente (interferencia).

El modelo de propagación de este método es simétrico, en el sentido de que en él se tratan de la misma forma los dos terminales radioeléctricos. Desde el punto de vista del modelo, no importa cuál de los terminales es el transmisor y cuál el receptor. No obstante, por ser conveniente para la descripción del modelo, se utilizan los términos «transmisor» y «receptor» para indicar los terminales situados al inicio y al final del trayecto radioeléctrico, respectivamente.

El método se describe primero en términos del cálculo de las pérdidas de transmisión básicas (dB) que no se rebasan durante un $p\%$ del tiempo para el valor mediano de las ubicaciones. Posteriormente, la variabilidad con la ubicación y los elementos de pérdidas debidas a la penetración en edificios se caracterizan estadísticamente con respecto a la ubicación del receptor. A continuación se indica un método para la conversión a intensidad de campo eléctrico (dB(μ V/m)) con una potencia radiada aparente de 1 kW.

Se pretende que este método se aplique principalmente en sistemas que utilizan antenas de baja ganancia. No obstante, si se emplean antenas de alta ganancia, la variación de la precisión afecta solamente el elemento de dispersión troposférica del método general y las predicciones no cambian mucho. Por ejemplo, aun con antenas de 40 dBi en ambos extremos del enlace, las señales de dispersión troposférica se sobreestiman en tan sólo 1 dB aproximadamente.

El método es adecuado para realizar predicciones en sistemas de radiocomunicaciones que emplean circuitos terrenales con trayectos que van desde 0,25 km hasta unos 3 000 km de longitud, con los dos terminales ubicados a una altura de hasta unos 3 km sobre el suelo. No conviene utilizar el método para predecir la propagación en circuitos radioeléctricos aire-suelo ni espacio-Tierra.

El método de predicción de la propagación de este Anexo es específico del trayecto. Las predicciones punto a zona realizadas utilizando este método consisten en una serie de muchas predicciones punto a punto (es decir, de punto transmisor a multipunto receptor) distribuidas uniformemente en zonas de servicio teóricas. El número de puntos debe ser lo suficientemente grande como para garantizar que los valores previstos de las pérdidas de transmisión básicas o de las intensidades de campo así obtenidos sean estimaciones razonables de los valores medianos, con respecto a las ubicaciones, de las cantidades correspondientes para las zonas elementales que representan.

Por tanto, se supone que quienes utilizan esta Recomendación pueden especificar los perfiles detallados del terreno (es decir, las elevaciones sobre el nivel medio del mar) en función de la distancia a lo largo de los trayectos de círculo máximo (es decir, curvas geodésicas) entre los terminales, para muchas ubicaciones diferentes de los terminales (puntos de recepción). Lo que esta suposición implica, para la mayoría de las aplicaciones prácticas de este método de predicción de la cobertura punto a zona y de la interferencia, es que se debe contar con una base de datos digital de las elevaciones del terreno, que se pueda consultar introduciendo la latitud y longitud con respecto a datos geodésicos coherentes y de la que se puedan extraer los perfiles del terreno por medios automatizados. Si no se dispone de estos perfiles detallados del terreno, es preferible que se utilice la Recomendación UIT-R P.1546 para realizar las predicciones.

En vista de lo anterior, la variabilidad con la ubicación y los elementos del modelo de pérdidas debidas a la penetración en edificios se caracterizan utilizando las estadísticas de distribuciones log-normal respecto a las ubicaciones del receptor. Aunque esta caracterización estadística del problema de propagación punto a zona pareciera hacer que, considerado en su conjunto, el modelo sea asimétrico (es decir, no recíproco), los usuarios de esta Recomendación deben tener presente que la variabilidad con la ubicación puede, en principio, aplicarse en cualquiera de los dos extremos del trayecto (es decir, en cualquiera de los dos terminales) o incluso en ambos (es decir, en el transmisor y en el receptor). No obstante, la corrección de la variabilidad con la ubicación sólo tiene sentido si se desconoce la ubicación exacta de alguno de los terminales y se necesita una representación estadística de las posibles ubicaciones de dicho terminal. Es poco probable que surjan situaciones en las que tenga sentido aplicar esto respecto a la ubicación del transmisor. Si se conocen exactamente las ubicaciones de los dos terminales y se utiliza este procedimiento en el modo punto a punto, la presente Recomendación se puede aplicar sólo con $p_L = 50\%$.

Lo anterior también es válido respecto a las pérdidas debidas a la penetración en edificios. El razonamiento es algo más complicado que para la variabilidad con la ubicación, debido a que la corrección mediana de las pérdidas debidas a la penetración es diferente de cero. Si el transmisor se encuentra dentro de un edificio, los usuarios de la Recomendación también deben añadir, en el extremo del transmisor, las pérdidas debidas a la penetración en el edificio a las pérdidas de transmisión básicas, pero deben ser conscientes de que los valores medianos de las pérdidas presentados en el Cuadro 6 pueden conducir a error si el transmisor no se encuentra en una ubicación «mediana».

2 Elementos del modelo del método de predicción de la propagación

El método de predicción de la propagación considera los siguientes elementos:

- *visibilidad directa;*
- *difracción* (abarca los casos de Tierra lisa, terreno irregular y subtrayectos);
- *dispersión troposférica;*
- *propagación anómala* (propagación por conductos y reflexión/refracción en capas);
- *variación de la ganancia con la altura debida a la ocupación del suelo;*
- *variabilidad con la ubicación;*
- *pérdidas debidas a la penetración en edificios.*

3 Parámetros de entrada

3.1 Datos básicos de entrada

En el Cuadro 1 se describen los datos básicos de entrada, que definen los terminales radioeléctricos, la frecuencia y el porcentaje de tiempo y las ubicaciones para las que se hacen las predicciones.

Las latitudes y longitudes de las dos estaciones se consideran datos básicos de entrada puesto que son necesarios para determinar el perfil del trayecto. Se deben obtener los parámetros radiometeorológicos correspondientes a una sola ubicación relacionada con el trayecto radioeléctrico y se debe seleccionar el centro del trayecto de los trayectos largos. Si se está prediciendo la zona de cobertura del transmisor, conviene obtener los parámetros radiometeorológicos de su ubicación.

3.2 Perfil del terreno

A fin de poder aplicar el método de predicción de la propagación es necesario contar previamente con el perfil del terreno para el trayecto radioeléctrico. En principio, está compuesto por tres conjuntos, todos ellos con el mismo número de valores, n , así:

$$d_i: \text{distancia del } i\text{-ésimo punto del perfil al transmisor (km)} \quad (1a)$$

$$h_i: \text{altura del } i\text{-ésimo punto del perfil sobre el nivel del mar (m)} \quad (1b)$$

$$g_i = h_i + \text{altura representativa de la ocupación del suelo para el } i\text{-ésimo punto del perfil (m)} \quad (1c)$$

donde:

i : 1, 2, 3 ... n = índice del punto del perfil

n : número de puntos en el perfil.

Cabe señalar que el primer punto del perfil se encuentra en el transmisor. Esto significa que d_1 es cero y que h_1 es la elevación del terreno en el emplazamiento del transmisor, en metros sobre el nivel del mar. De la misma forma, el n -ésimo punto del perfil se encuentra en el receptor, por lo que d_n es la longitud del trayecto en km y h_n es la elevación del terreno en el emplazamiento del receptor, en metros sobre el nivel del mar. Si no se tiene información sobre la altura representativa de la ocupación del suelo para el perfil del trayecto, entonces $g_i = h_i$.

Como no existe ningún conjunto normalizado de categorías de tipo de ocupación del suelo, en la presente Recomendación no se definen los tipos ni las alturas de la ocupación del suelo que se han de utilizar. Debe señalarse que, si se utilizan, las alturas del tipo de ocupación del suelo deben ser alturas de la ocupación del suelo «representativas» que contribuyan a mejorar la precisión del modelo, y no las alturas físicas de las ocupaciones del suelo representadas. Las alturas de ocupación del suelo que figuran en el Cuadro 2 pueden servir de orientación. En esta Recomendación, fijar a cero la altura de la ocupación del suelo equivale a suprimir las pérdidas debidas a la ocupación del suelo.

CUADRO 1

Datos básicos de entrada

Parámetro	Unidades	Mínimo	Máximo	Descripción
f	GHz	0,03	3,0	Frecuencia (GHz)
p	%	1,0	50,0	Porcentaje del año medio en que se rebasa el nivel de señal calculado
p_L	%	1	99	Porcentaje de ubicaciones para las que se rebasa el nivel de señal calculado
φ_t, φ_r	grados	-80	+80	Latitud del transmisor, receptor
ψ_t, ψ_r	grados	-180,0	180,0	Longitud del transmisor, receptor (valor positivo = al Este de Greenwich)
h_{tg}, h_{rg}	m	1	3 000	Altura del centro de la antena sobre el nivel del suelo

CUADRO 2

Tipos representativos de ocupación del suelo

Tipo de ocupación del suelo	Altura representativa de la ocupación del suelo (m)	Modelo del terminal para la pérdida por ocupación del suelo
Terreno abierto/terreno rural/agua	10	Ecuación (54b)
Entorno suburbano	10	Ecuación (54a)
Entorno urbano/árboles/bosque	15	Ecuación (54a)
Entorno urbano denso	20	Ecuación (54a)

3.3 Zonas radioclimáticas

También es necesario saber qué partes del trayecto atraviesan las zonas radioclimáticas descritas en el Cuadro 3.

Para lograr una máxima coherencia de los resultados entre administraciones, se recomienda vivamente que los cálculos según este procedimiento se basen en el mapa mundial digitalizado de la UIT (IDWM, *ITU Digitized World Map*) que está disponible en la Oficina de Radiocomunicaciones (BR) de la UIT para entornos de ordenadores corporativos y personales. Si todos los puntos del trayecto se encuentran al menos a 50 km del mar o de otras grandes masas de agua, se aplica sólo la categoría tierra interior.

CUADRO 3

Zonas radioclimáticas

Tipo de zona	Código	Definición
Tierra costera	A1	Zonas de tierra costeras y del litoral, es decir la tierra adyacente al mar hasta una altitud de 100 m con respecto al nivel medio del mar o del agua pero hasta una distancia de 50 km desde la zona marítima más próxima. Cuando no se dispone de datos precisos de 100 m, puede utilizarse un valor aproximado
Tierra interior	A2	Tierra, a excepción de las zonas costeras y del litoral definidas en el punto anterior como «tierra costera»
Mar	B	Mares, océanos y otras grandes masas de agua (cuya cobertura equivalga a un círculo de al menos 100 km de diámetro)

3.4 Distancias de los terminales a la costa

Si el trayecto cruza una zona tipo B, son necesarios otros dos parámetros, d_{ct} , d_{cr} , que representan, respectivamente, la distancia del transmisor y del receptor a la costa (km), en dirección del otro terminal. Si el terminal se encuentra en un barco o en una plataforma marina, la distancia es cero.

3.5 Parámetros radiometeorológicos básicos

El procedimiento de predicción requiere dos parámetros radiometeorológicos para describir la variabilidad de la refractividad atmosférica:

- ΔN (unidades N/km), el gradiente medio del índice de refracción radioeléctrica a lo largo del primer km de la atmósfera, proporciona los datos en que se basa el cálculo del radio

efectivo de la Tierra apropiado para el análisis del perfil del trayecto y del obstáculo de difracción. Cabe señalar que en este procedimiento ΔN toma un valor positivo.

- N_0 (unidades N), refractividad de la superficie a nivel del mar, se utiliza únicamente en el modelo de dispersión troposférica como medida de la variabilidad del mecanismo de dispersión troposférica.

En el Apéndice 1 se presentan mapas mundiales de ΔN y N_0 . Los ficheros de datos con los mapas digitalizados se pueden obtener a través de la BR.

3.6 El efecto de la propagación por conductos

El grado en que mejoran los niveles de las señales por efecto de la propagación anómala, en particular por la propagación por conductos, se cuantifica mediante el parámetro β_0 (%), que es el porcentaje de tiempo en el que pueden esperarse, en los primeros 100 m de la baja atmósfera, unos valores del gradiente del índice de refracción superiores a 100 unidades N/km. β_0 se calcula de la siguiente forma:

Se determina el parámetro μ_1 , que depende de la proporción del trayecto sobre tierra (tierra interior o tierra costera) y sobre mar:

$$\mu_1 = \left(10^{\frac{-d_{tm}}{16 - 6,6\tau}} + 10^{-5(0,496 + 0,354\tau)} \right)^{0,2} \quad (2)$$

donde el valor de μ_1 debe limitarse a $\mu_1 \leq 1$,

y:

$$\tau = 1 - e^{-\left(4,12 \times 10^{-4} \times d_{tm}^{2,41}\right)} \quad (3)$$

d_{tm} : sección continua más larga sobre la tierra (interior + costera) del trayecto en el círculo máximo (km)

d_{lm} : sección continua más larga sobre la tierra (interior) del trayecto en el círculo máximo (km).

En el Cuadro 3 figuran las zonas radioclimáticas que han de utilizarse para calcular d_{tm} y d_{lm} . Si todos los puntos se encuentran al menos a 50 km del mar o de cualquier otra gran masa de agua, se aplica sólo la categoría de tierra interior y d_{tm} y d_{lm} son iguales a la longitud del trayecto, d .

Se determina el parámetro μ_4 , que depende de μ_1 y de la latitud del centro del trayecto dada en grados:

$$\begin{aligned} \mu_4 &= \mu_1^{(-0,935 + 0,0176|\varphi|)} && \text{para } |\varphi| \leq 70^\circ \\ \mu_4 &= \mu_1^{0,3} && \text{para } |\varphi| > 70^\circ \end{aligned} \quad (4)$$

donde:

φ : latitud del centro del trayecto (grados).

Por último, se determina β_0 :

$$\beta_0 = \begin{cases} 10^{-0,015|\varphi| + 1,67} \mu_1 \mu_4 & \% & \text{para } |\varphi| \leq 70^\circ \\ 4,17 \mu_1 \mu_4 & \% & \text{para } |\varphi| > 70^\circ \end{cases} \quad (5)$$

3.7 Radio efectivo de la Tierra

El valor mediano del factor radio efectivo de la Tierra, k_{50} , del trayecto viene dado por:

$$k_{50} = \frac{157}{157 - \Delta N} \quad (6)$$

El valor medio del gradiente de la refractividad radioelétrica puede obtenerse de la Fig. 1 utilizando la latitud y longitud del centro del trayecto en representación de todo el trayecto.

El valor mediano del radio efectivo de la Tierra, a_e , viene dado por:

$$a_e = 6371 \cdot k_{50} \quad \text{km} \quad (7a)$$

El radio efectivo de la Tierra rebasado durante un tiempo β_0 , a_β , viene dado por:

$$a_\beta = 6371 \cdot k_\beta \quad \text{km} \quad (7b)$$

donde $k_\beta = 3,0$ es un valor estimativo del factor radio efectivo de la Tierra rebasado durante un tiempo β_0 .

3.8 Parámetros calculados a partir del análisis del perfil del trayecto

Los valores de una serie de parámetros relacionados con el trayecto que son necesarios para el cálculo y que se indican en el Cuadro 4, deben obtenerse a través de un análisis inicial del perfil del trayecto basado en el valor de a_e que viene dado por la ecuación (7a). En el Apéndice 2 al presente Anexo figura información sobre la obtención, determinación y análisis del perfil del trayecto.

4 Procedimiento de predicción

4.1 Generalidades

Este punto describe el procedimiento general de predicción. Primero se evalúan las pérdidas de transmisión básicas, L_b (dB), no rebasadas durante el porcentaje requerido de tiempo anual, $p\%$, para el 50% de las ubicaciones, conforme a lo descrito en los § 4.2-4.6 (es decir, las pérdidas básicas de transmisión debidas a la propagación de visibilidad directa, propagación por difracción, propagación por dispersión troposférica, propagación por reflexión en conductos/capas y la combinación de estos mecanismos de propagación a fin de predecir las pérdidas de transmisión básicas, respectivamente). En los § 4.7-4.10, se describen métodos que tienen en cuenta los efectos de la ocupación del suelo en los terminales, los efectos de la variabilidad con la ubicación y las pérdidas debidas a la penetración en edificios. Por último, en el § 4.11 se indica la relación entre las pérdidas básicas de transmisión y la intensidad de campo (dB $\mu\text{V}/\text{m}$) para una potencia radiada aparente de 1 kW.

CUADRO 4

Valores de parámetros que han de calcularse a partir del análisis del perfil del trayecto

Parámetro	Descripción
d	Distancia del trayecto a lo largo del círculo máximo (km)
d_{lt}, d_{lr}	Distancia de las antenas de transmisión y de recepción a sus horizontes respectivos (km)
θ_t, θ_r	Ángulos de elevación de las antenas de transmisión y de recepción con relación al horizonte, respectivamente (mrad)
θ	Distancia angular del trayecto (mrad)
h_{ts}, h_{rs}	Altura del centro de la antena sobre el nivel medio del mar (m)
h_{tc}, h_{rc}	$\max(h_{ts}, g_1)$ y $\max(h_{rs}, g_n)$, respectivamente
h_{te}, h_{re}	Alturas efectivas de las antenas sobre el terreno (m)
d_b	Longitud combinada de las secciones del trayecto sobre el agua (km)
ω	Fracción del trayecto total sobre el agua: $\omega = d_b/d$ donde d es la distancia del círculo máximo (km) calculada utilizando la ecuación (63). Para trayectos realizados totalmente sobre tierra, $\omega = 0$

4.2 Propagación con visibilidad directa (incluidos los efectos a corto plazo)

Todo lo que sigue a continuación debe evaluarse tanto para los trayectos transhorizonte como de visibilidad directa.

Las pérdidas de transmisión básicas debidas a la propagación en el espacio libre vienen dadas por:

$$L_{bfs} = 92,44 + 20 \log f + 20 \log d \quad \text{dB} \quad (8)$$

Las correcciones de los efectos de propagación multitrayecto y de enfoque para los porcentajes de tiempo p y β_0 vienen dadas respectivamente por:

$$E_{sp} = 2,6 \left(1 - e^{-\frac{d_t + d_r}{10}} \right) \log \left(\frac{p}{50} \right) \quad \text{dB} \quad (9a)$$

$$E_{s\beta} = 2,6 \left(1 - e^{-\frac{d_t + d_r}{10}} \right) \log \left(\frac{\beta_0}{50} \right) \quad \text{dB} \quad (9b)$$

Se determinan las pérdidas de transmisión básicas no rebasadas durante el porcentaje de tiempo $p\%$, debidas a la propagación con visibilidad directa (independientemente de si el trayecto es en realidad o no de visibilidad directa), utilizando la siguiente expresión:

$$L_{b0p} = L_{bfs} + E_{sp} \quad \text{dB} \quad (10)$$

Se calculan las pérdidas de transmisión básicas no rebasadas durante el porcentaje de tiempo $\beta_0\%$, debidas a la propagación con visibilidad directa (independientemente de si el trayecto es en realidad o no de visibilidad directa), utilizando la siguiente expresión:

$$L_{b0\beta} = L_{bfs} + E_{s\beta} \quad \text{dB} \quad (11)$$

4.3 Propagación por difracción

NOTA 1 – Se ha observado que este método, extraído de la Recomendación UIT-R P.452, tiene limitaciones¹, por lo que se está elaborando un método mejorado. En particular, se están examinando actualmente otros métodos de difracción, lo que hará necesario actualizar este punto.

Las pérdidas por difracción se calculan utilizando un método basado en la construcción de Deygout para un número máximo de tres aristas. Siempre existe una arista principal, identificada como el punto del perfil con el valor máximo del parámetro de difracción, v . También pueden existir aristas secundarias en los lados transmisor y receptor de la arista principal. Luego, mediante una corrección empírica se combinan las pérdidas de arista afilada correspondientes a las aristas existentes. El método arroja un valor estimativo de las pérdidas por difracción para todos los tipos de trayecto, incluidos los trayectos por mar, por tierra interior y por tierra costera; independientemente de si el trayecto es liso o abrupto.

El método mencionado se utiliza siempre para el radio efectivo mediano de la Tierra descrito en el § 4.3.1. Si sólo se requiere una predicción general para $p = 50\%$, no es necesario proseguir con los cálculos de difracción.

En el caso general en que $p < 50\%$, debe efectuarse el cálculo por segunda vez para un factor del radio efectivo de la Tierra igual a 3, conforme se describe en el § 4.3.2. Este segundo cálculo proporciona una estimación de las pérdidas de difracción no rebasadas durante el $\beta_0\%$ del tiempo, donde β_0 viene dado por la ecuación (5).

Se calculan a continuación las pérdidas de difracción no rebasadas durante el $p\%$ del tiempo, donde $0,001\% \leq p \leq 50\%$, utilizando el procedimiento de limitación o interpolación descrito en el § 4.3.3.

El método emplea una aproximación de las pérdidas de difracción para una sola arista afilada como función de parámetro adimensional, v , expresadas mediante:

$$J(v) = 6,9 + 20 \log \left(\sqrt{(v-0,1)^2 + 1} + v - 0,1 \right) \quad (12)$$

Obsérvese que $J(-0,78) \approx 0$, lo que define el límite inferior para el que se debe utilizar esta aproximación. Para $v \leq -0,78$ se debe fijar $J(v)$ a cero.

4.3.1 Valor mediano de las pérdidas de difracción

El valor mediano de las pérdidas de difracción, L_{d50} (dB), se calcula utilizando el valor mediano del radio efectivo de la Tierra, a_e , dado por la ecuación (7a).

Valor mediano de las pérdidas de difracción de la arista principal

Se calcula la corrección, ζ_m , para la pendiente global del trayecto, mediante:

$$\zeta_m = \cos \left(\operatorname{tg}^{-1} \left(10^{-3} \cdot \frac{h_{rc} - h_{tc}}{d} \right) \right) \quad (13)$$

Se halla la arista principal y se calcula su parámetro de difracción, v_{m50} , mediante:

$$v_{m50} = \max_{i=2}^{n-1} \left(\zeta_m H_i \sqrt{\frac{2 \times 10^{-3} d}{\lambda d_i (d - d_i)}} \right) \quad (14)$$

¹ En particular, unas mediciones efectuadas en Suiza arrojaron resultados incoherentes con una desviación típica de 15 dB.

donde la altura despejada vertical, H_i , viene dada por:

$$H_i = g_i + 10^3 \frac{d_i(d-d_i)}{2a_e} - \frac{h_{tc} \cdot (d-d_i) + h_{rc} \cdot d_i}{d} \quad (14a)$$

y:

λ : longitud de onda (m) = $0,3/f$

f : frecuencia (GHz)

d : longitud del trayecto (km)

d_i : distancia del transmisor al i -ésimo punto del perfil (km) (véase el § 3.2)

$h_{tc,rc}$: $\max(h_{ts,rs}, g_{1,n})$, respectivamente.

Se fija i_{m50} conforme al índice del punto del perfil con el valor máximo de v_{m50} .

Se calcula el valor mediano de las pérdidas de difracción de arista afilada para la arista principal, L_{m50} , mediante:

$$L_{m50} = \begin{cases} J(v_{m50}) & \text{si } v_{m50} \geq -0,78 \\ 0 & \text{en caso contrario} \end{cases} \quad (15)$$

Si $L_{m50} = 0$, tanto el valor mediano de las pérdidas de difracción, L_{d50} , como las pérdidas de difracción no rebasadas durante el $\beta_0\%$ del tiempo, $L_{d\beta}$, valen cero y no es necesario proseguir con los cálculos de difracción.

En caso contrario, deben investigarse otras posibles pérdidas adicionales producidas por las aristas secundarias a los lados transmisor y receptor de la arista principal, como se indica a continuación:

Valor mediano de las pérdidas de difracción de la arista secundaria del lado transmisor

Si $i_{m50} = 2$, no hay ninguna arista secundaria al lado transmisor y las pérdidas de difracción correspondientes, L_{t50} , deben fijarse a cero. En caso contrario, los cálculos prosiguen como se indica a continuación. Se calcula la corrección, ζ_t , para la pendiente del trayecto entre el transmisor y la arista principal, como sigue:

$$\zeta_t = \cos \left(\text{tg}^{-1} \left(10^{-3} \cdot \frac{g_{im50} - h_{tc}}{d_{im50}} \right) \right) \quad (16)$$

Se halla la arista secundaria del lado transmisor y se calcula su parámetro de difracción, v_{t50} , mediante:

$$v_{t50} = \max_{i=2}^{i_{m50}-1} \left(\zeta_t H_i \sqrt{\frac{2 \times 10^{-3} d_{im50}}{\lambda d_i \cdot (d_{im50} - d_i)}} \right) \quad (17)$$

donde:

$$H_i = g_i + 10^3 \frac{d_i(d_{im50} - d_i)}{2a_e} - \frac{h_{tc}(d_{im50} - d_i) + g_{im50} \cdot d_i}{d_{im50}} \quad (17a)$$

Se fija i_{t50} conforme al índice del punto del perfil de la arista secundaria del lado transmisor (es decir, el índice del elemento del conjunto de alturas del terreno al que corresponde el valor v_{t50}).

Se calcula el valor mediano de las pérdidas de difracción de arista afilada correspondientes a la arista secundaria del lado transmisor, L_{t50} , mediante:

$$\begin{aligned} L_{t50} &= J(v_{t50}) && \text{si } v_{t50} \geq -0,78 \text{ y } i_{m50} > 2 \\ &= 0 && \text{en caso contrario} \end{aligned} \quad (18)$$

Valor mediano de las pérdidas de difracción de la arista secundaria del lado receptor

Si $i_{m50} = n - 1$, no hay ninguna arista secundaria al lado receptor y las pérdidas de difracción correspondientes, L_{r50} , deben fijarse a cero. En caso contrario, los cálculos prosiguen como se indica a continuación. Se calcula la corrección, ζ_r , para la pendiente del trayecto entre el transmisor y la arista principal, como sigue:

$$\zeta_r = \cos \left(\text{tg}^{-1} \left(10^{-3} \cdot \frac{h_{rc} - g_{im50}}{d - d_{im50}} \right) \right) \quad (19)$$

Se halla la arista secundaria del lado receptor y se calcula su parámetro de difracción, v_{r50} , mediante:

$$v_{r50} = \max_{i=i_{m50}+1}^{n-1} \left(\zeta_r H_i \sqrt{\frac{2 \times 10^{-3} (d - d_{im50})}{\lambda (d_i - d_{im50}) (d - d_i)}} \right) \quad (20)$$

donde:

$$H_i = g_i + 10^3 \frac{(d_i - d_{im50}) (d - d_i)}{2a_e} - \frac{g_{im50} (d - d_i) + h_{rc} (d_i - d_{im50})}{d - d_{im50}} \quad (20a)$$

Se fija i_{r50} conforme al índice del punto del perfil de la arista secundaria del lado receptor (es decir, el índice del elemento del conjunto de alturas del terreno al que corresponde el valor v_{r50}).

Se calcula el valor mediano de las pérdidas de difracción de arista afilada correspondientes a la arista secundaria del lado transmisor, L_{r50} , mediante:

$$\begin{aligned} L_{r50} &= J(v_{r50}) && \text{si } v_{r50} \geq -0,78 \text{ y } i_{m50} < n - 1 \\ &= 0 && \text{en caso contrario} \end{aligned} \quad (21)$$

Combinación de las pérdidas de arista para el valor mediano de la curvatura de la Tierra

Se calcula el valor mediano de las pérdidas de difracción, L_{d50} , mediante:

$$\begin{aligned} L_{d50} &= L_{m50} + \left(1 - e^{-\frac{L_{m50}}{6}} \right) (L_{t50} + L_{r50} + 10 + 0,04d) && \text{si } v_{m50} > -0,78 \\ &= 0 && \text{en caso contrario} \end{aligned} \quad (22)$$

En la ecuación (22) L_{t50} será cero si no existe la arista secundaria del lado transmisor, y, de forma similar, L_{r50} será cero si no existe la arista secundaria del lado receptor.

Si $L_{d50} = 0$, las pérdidas de difracción no rebasadas durante el $\beta_0\%$ del tiempo también serán cero.

Si la predicción se requiere sólo para $p = 50\%$, no es necesario proseguir los cálculos de difracción (véase el § 4.3.3). En caso contrario, es necesario calcular las pérdidas de difracción no rebasadas durante el $\beta_0\%$ del tiempo, como se indica a continuación.

4.3.2 Pérdidas de difracción no rebasadas durante el $\beta_0\%$ del tiempo

Las pérdidas de difracción no rebasadas durante el $\beta_0\%$ del tiempo se calculan empleando el radio efectivo de la Tierra rebasado durante el $\beta_0\%$ del tiempo, a_β , conforme a la ecuación (7b). En este segundo cálculo de difracción, se deben utilizar para la construcción de Deygout las mismas aristas que se determinaron para el caso mediano. El cálculo de esta pérdida de difracción se realiza como sigue:

Pérdidas de difracción de la arista principal no rebasadas durante el $\beta_0\%$ del tiempo

Se halla el parámetro de difracción de la arista principal, $v_{m\beta}$, mediante:

$$v_{m\beta} = \zeta_m H_{im\beta} \sqrt{\frac{2 \times 10^{-3} d}{\lambda d_{im50} (d - d_{im50})}} \quad (23)$$

donde:

$$H_{im\beta} = g_{im50} + 10^3 \frac{d_{im50} (d - d_{im50})}{2a_\beta} - \frac{h_{rc} (d - d_{im50}) + h_{rc} d_{im50}}{d} \quad (23a)$$

Se calculan las pérdidas de difracción de arista afilada para la arista principal, $L_{m\beta}$, mediante:

$$L_{m\beta} = \begin{cases} J(v_{m\beta}) & \text{si } v_{m\beta} \geq -0,78 \\ = 0 & \text{en caso contrario} \end{cases} \quad (24)$$

Pérdidas de difracción de la arista secundaria del lado transmisor no rebasadas durante el $\beta_0\%$ del tiempo

Si $L_{t50} = 0$, $L_{t\beta}$ será cero. En caso contrario, se calcula el parámetro de difracción de la arista secundaria del lado transmisor, $v_{t\beta}$, mediante:

$$v_{t\beta} = \zeta_t H_{it\beta} \sqrt{\frac{2 \times 10^{-3} d_{im50}}{\lambda d_{it50} (d_{im50} - d_{it50})}} \quad (25)$$

donde:

$$H_{it\beta} = g_{it50} + 10^3 \frac{d_{it50} (d_{im50} - d_{it50})}{2a_\beta} - \frac{h_{rc} (d_{im50} - d_{it50}) + g_{im50} \cdot d_{it50}}{d_{im50}} \quad (25a)$$

Se calculan las pérdidas de difracción de arista afilada de la arista secundaria del lado transmisor, $L_{t\beta}$, mediante:

$$L_{t\beta} = \begin{cases} J(v_{t\beta}) & \text{si } v_{t\beta} \geq -0,78 \\ = 0 & \text{en caso contrario} \end{cases} \quad (26)$$

Pérdidas de difracción de la arista secundaria del lado receptor no rebasadas durante el $\beta_0\%$ del tiempo

Si $L_{r50} = 0$, $L_{r\beta}$ será cero. En caso contrario, se calcula el parámetro de difracción de la arista secundaria del lado receptor, $v_{r\beta}$, mediante:

$$v_{r\beta} = \zeta_r H_{ir\beta} \sqrt{\frac{2 \times 10^{-3} (d - d_{im50})}{\lambda (d_{ir50} - d_{im50}) (d - d_{ir50})}} \quad (27)$$

donde:

$$H_{ir\beta} = g_{ir50} + 10^3 \frac{(d_{ir50} - d_{im50})(d - d_{ir50})}{2a\beta} - \frac{g_{im50}(d - d_{ir50}) + h_{rc}(d - d_{im50})}{d - d_{im50}} \quad (27a)$$

Se calculan las pérdidas de difracción de arista afilada de la arista secundaria del lado receptor, $L_{r\beta}$, mediante:

$$\begin{aligned} L_{r\beta} &= J(v_{r\beta}) && \text{si } v_{r\beta} \geq -0,78 \\ &= 0 && \text{en caso contrario} \end{aligned} \quad (28)$$

Combinación de las pérdidas de arista no rebasadas durante el $\beta_0\%$ del tiempo

Se calculan las pérdidas de difracción no rebasadas durante el $\beta_0\%$ del tiempo, $L_{d\beta}$, mediante:

$$\begin{aligned} L_{d\beta} &= L_{m\beta} + \left(1 - e^{-\frac{L_{m\beta}}{6}}\right) (L_{i\beta} + L_{r\beta} + 10 + 0,04d) && \text{si } v_{m\beta} > -0,78 \\ &= 0 && \text{en caso contrario} \end{aligned} \quad (29)$$

4.3.3 Pérdidas de difracción no rebasadas durante el $p\%$ del tiempo

La utilización de los dos valores posibles del radio efectivo de la Tierra la determina un factor de interpolación, F_i , basado en una distribución log-normal de pérdidas de difracción en la gama $\beta_0\% < p \leq 50\%$, dada por:

$$F_i = 0 \quad \text{si } p = 50\% \quad (30a)$$

$$= \frac{I\left(\frac{p}{100}\right)}{I\left(\frac{\beta_0}{100}\right)} \quad \text{si } 50\% > p > \beta_0\% \quad (30b)$$

$$= 1 \quad \text{si } \beta_0\% \geq p \quad (30c)$$

donde $I(x)$ es la distribución normal acumulativa complementaria inversa en función de la probabilidad x . En el Apéndice 3 del presente Anexo figura una aproximación de $I(x)$ fiable para $x \leq 0,5$.

Las pérdidas de difracción, L_{dp} , no rebasadas durante el $p\%$ del tiempo vienen dadas ahora por

$$L_{dp} = L_{d50} + (L_{d\beta} - L_{d50}) F_i \quad (\text{dB}) \quad (31)$$

donde L_{d50} y $L_{d\beta}$ se definen en las ecuaciones (22) y (29), respectivamente, y F_i se define en las ecuaciones (30a-c), dependiendo de los valores de p y β_0 .

El valor mediano de las pérdidas de transmisión básicas correspondientes a la difracción, L_{bd50} , viene dado por:

$$L_{bd50} = L_{bfs} + L_{d50} \quad \text{dB} \quad (32)$$

donde L_{bfs} se calcula conforme a la ecuación (8).

Las pérdidas de transmisión básicas correspondientes a la difracción no rebasadas durante el $p\%$ del tiempo son:

$$L_{bd} = L_{b0p} + L_{dp} \quad \text{dB} \quad (33)$$

donde L_{b0p} se calcula según la ecuación (10).

4.4 Propagación por dispersión troposférica

NOTA 1 – Para porcentajes de tiempo muy inferiores al 50%, es difícil separar el modo real de dispersión troposférica de otros fenómenos de propagación secundaria que pueden dar lugar a efectos similares de propagación. El modelo de «dispersión troposférica» adoptado en la presente Recomendación es por tanto una generalización empírica del concepto de dispersión troposférica que también abarca estos efectos de propagación secundaria. De esta manera se puede efectuar de manera coherente la predicción continua de las pérdidas básicas de transmisión en la gama de porcentajes de tiempo, p , que va desde el 0,001% al 50%, enlazando de este modo el modelo de propagación por conductos y de reflexión en capas durante pequeños porcentajes de tiempo con el «modo de dispersión» real, que es el adecuado para el débil campo residual excedido durante el porcentaje de tiempo más largo.

NOTA 2 – Este modelo de predicción de la dispersión troposférica se ha obtenido con fines de predicción de la interferencia y no es adecuado para el cálculo de las condiciones de propagación en los sistemas de radioenlaces transhorizonte cuando éstos afecten a sus aspectos de calidad funcional durante tiempos superiores al 50% del de transmisión.

Las pérdidas de transmisión básicas debidas a la dispersión troposférica, L_{bs} (dB) no rebasadas durante cualquier porcentaje de tiempo, p , inferior al 50%, vienen dadas por:

$$L_{bs} = 190,1 + L_f + 20 \log d + 0,573\theta - 0,15 N_0 - 10,125 \left(\log \left(\frac{50}{p} \right) \right)^{0,7} \quad \text{dB} \quad (34)$$

donde:

L_f : pérdidas dependientes de la frecuencia:

$$L_f = 25 \log(f) - 2,5 \left[\log \left(\frac{f}{2} \right) \right]^2 \quad \text{dB} \quad (35)$$

N_0 : refractividad de la superficie a nivel del mar medida en el punto central del trayecto (véase la Fig. 2).

4.5 Propagación por conductos y por reflexión en capas

Las pérdidas de transmisión básicas relacionadas con la propagación por conductos/reflexión en capas no rebasadas durante el $p\%$ del tiempo, L_{ba} (dB), vienen dadas por:

$$L_{ba} = A_f + A_d(p) \quad \text{dB} \quad (36)$$

donde:

A_f : pérdidas totales o pérdidas fijas de acoplamiento (excepto para las pérdidas debidas a la ocupación del suelo) entre las antenas y la estructura de propagación anómala dentro de la atmósfera:

$$A_f = 102,45 + 20 \log f + 20 \log(d_{lt} + d_{lr}) + A_{lf} + A_{st} + A_{sr} + A_{ct} + A_{cr} \quad \text{dB} \quad (37)$$

A_{lf} : corrección empírica que tiene en cuenta la atenuación creciente con longitud de onda en la propagación por conductos

$$A_{lf}(f) = 45,375 - 137,0f + 92,5f^2 \quad \text{dB} \quad \text{si } f < 0,5 \text{ GHz} \quad (37a)$$

$$A_{lf}(f) = 0,0 \text{ dB} \quad \text{en caso contrario}$$

A_{st}, A_{sr} : pérdidas de difracción debidas al apantallamiento del emplazamiento para las estaciones transmisora y receptora, respectivamente:

$$A_{st, sr} = \begin{cases} 20 \log \left[1 + 0,361 \theta''_{t,r} (f \cdot d_{lt,lr})^{1/2} \right] + 0,264 \theta''_{t,r} f^{1/3} \quad \text{dB} & \text{para } \theta''_{t,r} > 0 \text{ mrad} \\ 0 \quad \text{dB} & \text{para } \theta''_{t,r} \leq 0 \text{ mrad} \end{cases} \quad (38)$$

donde:

$$\theta''_{t,r} = \theta_{t,r} - 0,1 d_{lt,lr} \quad \text{mrad} \quad (38a)$$

A_{ct}, A_{cr} : correcciones del acoplamiento por conductos en la superficie sobre el mar, para las estaciones transmisora y receptora, respectivamente:

$$A_{ct, cr} = -3 e^{-0,25d_{ct, cr}^2} (1 + \text{tgh}(0,07(50 - h_{ts, rs}))) \quad \text{dB} \quad \text{para } \omega \geq 0,75$$

$$d_{ct, cr} \leq d_{lt, lr} \quad (39)$$

$$d_{ct, cr} \leq 5 \text{ km}$$

$$A_{ct, cr} = 0 \quad \text{dB} \quad \text{para todas las demás condiciones} \quad (39a)$$

Es útil señalar el conjunto limitado de condiciones para las que se necesita la ecuación (39).

$A_d(p)$: pérdidas dependientes del porcentaje de tiempo y de la distancia angular dentro del mecanismo de propagación anómala:

$$A_d(p) = \gamma_d \cdot \theta' + A(p) \quad \text{dB} \quad (40)$$

siendo:

γ_d : atenuación específica:

$$\gamma_d = 5 \times 10^{-5} a_e f^{1/3} \quad \text{dB/mrad} \quad (41)$$

θ' : distancia angular (corregida cuando proceda con la ecuación (38a) para poder aplicar el modelo de apantallamiento del emplazamiento de la ecuación (36):

$$\theta' = \frac{10^3 d}{a_e} + \theta'_t + \theta'_r \quad \text{mrad} \quad (42)$$

$$\theta'_{t,r} = \begin{cases} \theta_{t,r} & \text{para } \theta_{t,r} \leq 0,1 d_{lt,lr} \quad \text{mrad} \\ 0,1 d_{lt,lr} & \text{para } \theta_{t,r} > 0,1 d_{lt,lr} \quad \text{mrad} \end{cases} \quad (42a)$$

$A(p)$: variabilidad del porcentaje de tiempo (distribución acumulativa):

$$A(p) = -12 + (1,2 + 3,7 \times 10^{-3} d) \log \left(\frac{p}{\beta} \right) + 12 \left(\frac{p}{\beta} \right)^\Gamma \quad \text{dB} \quad (43)$$

$$\Gamma = \frac{1,076}{(2,0058 - \log \beta)^{1,012}} \times e^{-(9,51 - 4,8 \log \beta + 0,198 (\log \beta)^2) \times 10^{-6} \cdot d^{1,13}} \quad (43a)$$

$$\beta = \beta_0 \cdot \mu_2 \cdot \mu_3 \quad \% \quad (44)$$

μ_2 : corrección por la geometría del trayecto:

$$\mu_2 = \left[\frac{500}{a_e} \frac{d^2}{(\sqrt{h_{te}} + \sqrt{h_{re}})^2} \right]^\alpha \quad (45)$$

El valor de μ_2 no excederá de 1.

$$\alpha = -0,6 - \varepsilon \cdot 10^{-9} \cdot d^{3,1} \cdot \tau \quad (45a)$$

donde:

$$\varepsilon = 3,5$$

τ : definida en la ecuación (3) y el valor de α no será inferior a $-3,4$

μ_3 : corrección por la rugosidad del terreno:

$$\mu_3 = \begin{cases} 1 & \text{para } h_m \leq 10 \text{ m} \\ \exp^{-4,6 \times 10^{-5} (h_m - 10) (43 + 6d_l)} & \text{para } h_m > 10 \text{ m} \end{cases} \quad (46)$$

$$d_l = \text{mín} (d - d_{lt} - d_{lr}, 40) \quad \text{km} \quad (46a)$$

Los términos restantes se han definido en los Cuadros 1 y 2 y en el Apéndice 2 del presente Anexo.

4.6 Pérdidas de transmisión básicas no rebasadas durante el $p\%$ del tiempo y para el 50% de las ubicaciones, ignorando los efectos de la ocupación del suelo en los emplazamientos de los terminales

Debe aplicarse el siguiente procedimiento a los resultados de los cálculos anteriores, para todos los trayectos, con fin de calcular las pérdidas de transmisión básicas no rebasadas durante el $p\%$ del tiempo para el 50% de las ubicaciones. A fin de evitar discontinuidades ilógicas desde el punto de vista físico en las pérdidas de transmisión básicas teóricas previstas, deben combinarse los anteriores modelos para obtener valores modificados de dichas pérdidas de transmisión básicas y lograr una predicción global para el $p\%$ del tiempo y 50% de las ubicaciones.

Se calcula el factor de interpolación, F_j , a fin de tomar en cuenta la distancia angular del trayecto:

$$F_j = 1,0 - 0,5 \left(1,0 + \operatorname{tgh} \left(3,0 \cdot \xi \cdot \frac{(\theta - \Theta)}{\Theta} \right) \right) \quad (47)$$

donde:

- Θ : parámetro fijo que determina la gama de ángulos abarcados por la combinación correspondiente; se fija a 0,3
- ξ : parámetro fijo que determina la pendiente de la combinación al final de la gama; se fija a 0,8
- θ : distancia angular del trayecto (mrad) definida en el Cuadro 7.

Se calcula el factor de interpolación, F_k , a fin de tomar en cuenta la distancia del círculo máximo:

$$F_k = 1,0 - 0,5 \left(1,0 + \operatorname{tgh} \left(3,0 \cdot \kappa \cdot \frac{(d - d_{sw})}{d_{sw}} \right) \right) \quad (48)$$

donde:

- d : longitud del trayecto de círculo máximo definida en el Cuadro 3 (km)
- d_{sw} : parámetro fijo que determina la gama de distancias abarcadas por la combinación correspondiente; se fija a 20
- κ : parámetro fijo que determina la pendiente de la combinación a los extremos de la gama; se fija a 0,5.

Se calculan las pérdidas de transmisión básicas mínimas teóricas, L_{minb0p} (dB), correspondientes a la propagación con visibilidad directa y a la difracción de subtrayectos sobre el mar:

$$L_{minb0p} = \begin{cases} L_{b0p} + (1 - \omega)L_{dp} & \text{para } p < \beta_0 \\ L_{bd50} + (L_{b0\beta} + (1 - \omega)L_{dp} - L_{bd50}) \cdot F_i & \text{para } p \geq \beta_0 \end{cases} \quad \text{dB} \quad (49)$$

donde:

- L_{b0p} : pérdidas de transmisión básicas con visibilidad directa teóricas no rebasadas durante el $p\%$ del tiempo, dadas por la ecuación (10)
- $L_{b0\beta}$: pérdidas de transmisión básicas con visibilidad directa teóricas no rebasadas durante el $\beta_0\%$ dadas por la ecuación (11)
- L_{dp} : pérdidas de difracción no rebasadas durante el $p\%$ del tiempo, ecuación (31), calculadas conforme al método descrito en el § 4.3
- L_{bd50} : valor mediano de las pérdidas de transmisión básicas causadas por la difracción, ecuación (32), calculadas utilizando el método descrito en el § 4.3
- F_i : factor de interpolación de la difracción para dos radios efectivos de la Tierra, dado por la ecuación (30).

Se calculan las pérdidas de transmisión básicas mínimas teóricas, L_{minbap} (dB), relativas a las mejoras de las señales con visibilidad directa y transhorizonte:

$$L_{minbap} = \eta \cdot \ln \left(e^{\left(\frac{L_{ba}}{\eta} \right)} + e^{\left(\frac{L_{b0p}}{\eta} \right)} \right) \quad \text{dB} \quad (50)$$

donde:

- L_{ba} : pérdidas de transmisión básicas de propagación por conductos/reflexión en capas, no rebasadas durante el $p\%$ del tiempo, dadas por la ecuación (36)
- L_{b0p} : pérdidas de transmisión básicas con visibilidad directa teóricas, no rebasadas durante el $p\%$ del tiempo, dadas por la ecuación (10)
- $\eta = 2,5$.

Se calculan las pérdidas de transmisión básicas teóricas, L_{bda} (dB), correspondientes a la difracción y a la visibilidad directa o a las mejoras de propagación por conductos/reflexión en capas:

$$L_{bda} = \begin{cases} L_{bd} & \text{para } L_{minbap} > L_{bd} \\ L_{minbap} + (L_{bd} - L_{minbap}) \cdot F_k & \text{para } L_{minbap} \leq L_{bd} \end{cases} \quad \text{dB} \quad (51)$$

donde:

- L_{bd} : pérdidas de transmisión básicas, correspondientes a la difracción, no rebasadas durante el $p\%$ del tiempo, calculadas a partir de la ecuación (33)
- L_{minbap} : pérdidas de transmisión básicas teóricas relativas a la propagación con visibilidad directa y a las mejoras de la señal transhorizonte, calculadas a partir de la ecuación (50)
- F_k : factor de interpolación dado por la ecuación (48), de conformidad con el valor de la distancia del círculo máximo, d .

Se calculan las pérdidas de transmisión básicas modificadas, L_{bam} (dB), que tienen en cuenta la difracción y la visibilidad directa o las mejoras correspondientes a la propagación por conductos/reflexión en capas:

$$L_{bam} = L_{bda} + (L_{minb0p} - L_{bda}) \cdot F_j \quad \text{dB} \quad (52)$$

donde:

- L_{bda} : pérdidas de transmisión básicas teóricas correspondientes a la difracción y a la visibilidad directa o a las mejoras debidas a la propagación por conductos/reflexión en capas, dadas por la ecuación (51)
- L_{minb0p} : pérdidas de transmisión básicas mínimas teóricas correspondientes a la propagación con visibilidad directa y a la difracción de subtrayectos sobre el mar, dadas por la ecuación (49)
- F_j : factor de interpolación dado por la ecuación (47), de conformidad con el valor de la distancia angular del trayecto, θ .

Se calculan las pérdidas de transmisión básicas no rebasadas durante el $p\%$ del tiempo en el 50% de las ubicaciones, ignorando los efectos de la ocupación del suelo en los emplazamientos de los terminales, L_{bu} (dB), mediante:

$$L_{bu} = -5 \log \left(10^{-0,2L_{bs}} + 10^{-0,2L_{bam}} \right) \quad \text{dB} \quad (53)$$

donde:

- L_{bs} : pérdidas de transmisión básicas debidas a la dispersión troposférica, no rebasadas durante el $p\%$ del tiempo, dadas por la ecuación (34)
- L_{bam} : pérdidas de transmisión básicas modificadas teniendo en cuenta la difracción y la visibilidad directa o las mejoras debidas a la propagación por conductos/reflexión en capas, dadas por la ecuación (52).

4.7 Pérdidas debidas a la ocupación del suelo en los emplazamientos de los terminales

Cuando la antena del transmisor o del receptor están ubicadas por debajo de la altura R_t o R_r , que representan la cobertura del terreno en los emplazamientos del transmisor y del receptor, las pérdidas debidas a la ocupación del suelo del transmisor y del receptor, A_{ht} , A_{hr} , se calculan como se indica a continuación. El método es idéntico para el transmisor y para el receptor, con las siguientes sustituciones, según convenga: $A_h = A_{ht}$ o A_{hr} , $h = h_{tg}$ o h_{rg} y $R = R_t$ o R_r .

Si $h \geq R$ entonces $A_h = 0$

Si $h < R$ entonces A_h puede tomar una de las siguientes dos formas, dependiendo del tipo de ocupación del suelo (véase el Cuadro 2):

$$A_h = J(v) - 6,03 \quad \text{dB} \quad (54a)$$

o:

$$A_h = -K_{h2} \log(h/R) \quad \text{dB} \quad (54b)$$

$J(v)$ se calcula mediante la ecuación (12).

Los términos v y K_{h2} vienen dados por:

$$v = K_{nu} \sqrt{h_{dif} \theta_{clut}} \quad (54c)$$

$$h_{dif} = R - h \quad \text{m} \quad (54d)$$

$$\theta_{clut} = \text{tg}^{-1}(h_{dif} / 27) \quad \text{grados} \quad (54e)$$

$$K_{h2} = 21,8 + 6,2 \log(f) \quad (54f)$$

$$K_{nu} = 0,342 \sqrt{f} \quad (54g)$$

donde:

f : frecuencia (GHz).

La forma expresada en la ecuación (54a) representa las pérdidas de difracción de Fresnel cuando se pasa sobre un obstáculo, y se aplicaría a categorías de ocupación del suelo tales como edificios. En particular, los entornos urbanos corresponden a este tipo.

La ecuación (54b) se utiliza para representar la función ganancia de altura por debajo del primer valor máximo de interferencia provocado por la interferencia de dos rayos, procedente del suelo. No es en realidad un asunto relacionado con la ocupación del suelo, pero este método sencillo permite que se le trate dentro del mismo marco de referencia de la ocupación del suelo. De ser necesario, se utilizaría para especificar un tipo de ocupación del suelo «no ocupada» con una «altura de la ocupación del suelo», R , que representa la altura del primer lóbulo de la interferencia.

Las pérdidas de transmisión básicas no rebasadas durante el $p\%$ del tiempo para el 50% de las ubicaciones, incluidos los efectos de las pérdidas por ocupación del suelo, L_{bc} (dB), vienen dadas por:

$$L_{bc} = L_{bu} + A_{ht} + A_{hr} \quad \text{dB} \quad (55)$$

donde:

- L_{bu} : las pérdidas de transmisión básicas no rebasadas durante el $p\%$ del tiempo para el 50% de las ubicaciones a la altura de la ocupación del suelo representativa (o más arriba, según convenga), dadas por la ecuación (53)
- $A_{ht,hr}$: las pérdidas adicionales que tienen en cuenta el apantallamiento que la ocupación del suelo causa sobre el transmisor y el receptor, ecuaciones (54a) y (54b) según sea adecuado. Estas pérdidas se fijan a cero si no existe dicho apantallamiento.

4.8 Pérdidas por variabilidad de las ubicaciones

En la presente Recomendación, y por lo general, la variabilidad con la ubicación se refiere a las estadísticas espaciales de las variaciones debidas a la ocupación del suelo en las inmediaciones. Esto representa un resultado útil a escalas sustancialmente mayores que la de las variaciones debidas a la ocupación del suelo y cuando las variaciones del trayecto son insignificantes dentro de esas distancias. Dado que la variabilidad con las ubicaciones se define para excluir las variaciones debidas a la propagación por trayectos múltiples, ésta no depende de la anchura de banda del sistema.

En la planificación de los sistemas radioeléctricos, también será necesario tener en cuenta los efectos que producen los trayectos múltiples. La incidencia de estos efectos variará con los sistemas, dependiendo de la anchura de banda, la modulación y el sistema de codificación. En la Recomendación UIT-R P.1406 se ofrecen directrices para modelar estos efectos.

Del extenso análisis de los datos se deduce que la distribución del valor mediano de la intensidad de campo debida a variaciones en la ocupación del suelo en dicha área en entornos urbanos y suburbanos, es aproximadamente log-normal con una media cero.

Los valores de la desviación típica dependen de la frecuencia y del entorno. Estudios empíricos han demostrado que pueden variar enormemente. La siguiente expresión arroja valores representativos para áreas de 500 m × 500 m:

$$\sigma_L = K + 1,3 \log(f) \quad \text{dB} \quad (56)$$

donde:

- $K = 5,1$ para receptores con antenas ubicadas por debajo de la altura de la ocupación del suelo, en entornos urbanos o suburbanos, para sistemas móviles con antenas omnidireccionales a la altura del techo de los automóviles
- $K = 4,9$ para receptores con antenas ubicadas sobre el techo, aproximadamente a la altura de la ocupación del suelo
- $K = 4,4$ para receptores en zonas rurales
- f : frecuencia requerida (GHz).

Si el área en que se ha de aplicar la variabilidad es mayor a 500 m × 500 m, o si la variabilidad ha de referirse a todas las zonas de un conjunto determinado de zonas, en vez de a la variación de una zona a otra, el valor de σ_L será mayor. Algunos estudios empíricos sugieren que la variabilidad con la ubicación aumenta (con respecto los valores del área pequeña) en hasta 4 dB para un radio de 2 km y en hasta 8 dB para un radio de 50 km.

El porcentaje de las ubicaciones, p_L , puede variar entre el 1% y el 99%. Este modelo no es válido para porcentajes de ubicaciones inferiores al 1% ni mayores al 99%.

Cabe señalar que, para algunos objetivos de planificación (por ejemplo, planes de adjudicación multilaterales) por lo general será necesario utilizar una definición de «variabilidad con las ubicaciones» que incluya un grado de desvanecimiento multitrayecto. Dicha definición deberá contemplar el caso de un receptor móvil, estacionario en un emplazamiento en que se anulan las señales multitrayecto, o el de una antena instalada encima del tejado a través de la cual han de recibirse una serie de frecuencias y no puede ubicarse de manera óptima para todas ellas. Asimismo, a efectos de esta planificación también puede ser necesario tener en cuenta la variabilidad en una zona más extensa que la supuesta en la presente Recomendación.

En este contexto, se considera que los valores que figuran en el Cuadro 5 son adecuados para la planificación de muchos servicios de radiocomunicaciones.

CUADRO 5

Valores de desviación típica de la variabilidad con la ubicación utilizados en ciertas situaciones de planificación

	Desviación típica		
	100 MHz	600 MHz	2 000 MHz
Radiodifusión, analógica (dB)	8,3	9,5	–
Radiodifusión, digital (dB)	5,5	5,5	5,5

No ha de aplicarse la corrección a la variabilidad con la ubicación si el receptor/móvil se encuentra junto al mar.

Cuando el receptor/móvil se encuentra en tierra y en exteriores pero su altura sobre el suelo es mayor o igual a la altura representativa de la ocupación del suelo, cabe esperar que la variabilidad con la ubicación disminuya de forma monótona a medida que aumenta la altura hasta que, en algún punto, se desvanezca. En la presente Recomendación la variación con la altura de la variabilidad de la ubicación, $u(h)$, viene dada por:

$$\begin{aligned}
 u(h) &= 1 && \text{para } 0 \leq h < R \\
 u(h) &= 1 - \frac{(h-R)}{10} && \text{para } R \leq h < R+10 \\
 u(h) &= 0 && \text{para } R+10 \leq h
 \end{aligned} \tag{57}$$

donde R (m) es la altura de la ocupación del suelo representativa en la ubicación del receptor/móvil. Por tanto, para un receptor/móvil ubicado en exteriores, al calcular los valores de las pérdidas de transmisión básicas para valores de $p_L\%$ diferentes de 50%, la desviación típica de la variabilidad con la ubicación, σ_L , de la ecuación (56) o el Cuadro 5, debe multiplicarse por la función de variación con la altura, $u(h)$, de la ecuación (57).

4.9 Pérdidas debidas a la penetración en edificios

Las pérdidas debidas a la penetración en edificios se definen como la diferencia (dB) entre la intensidad de campo media (respecto a las ubicaciones) en el exterior del edificio, a una altura dada sobre el nivel del suelo, y la intensidad de campo media en el interior del mismo edificio (respecto a las ubicaciones), a esa misma altura sobre el nivel del suelo.

Para la *recepción en interiores*, también deben tenerse en cuenta dos parámetros importantes. El primero son las pérdidas debidas a la penetración en el edificio y la segunda es la variación de las pérdidas debidas a la penetración en el edificio ocasionadas por los diversos materiales de construcción del propio edificio. Las desviaciones típicas indicadas a continuación tienen en cuenta la gran variedad de pérdidas debidas a la penetración en edificios, pero no incluyen la variabilidad con la ubicación en el interior de los diferentes edificios. Cabe señalar que no se cuenta con mucha información y resultados de medidas fiables respecto a las pérdidas debidas a la penetración en edificios. En el Cuadro 6 se presentan valores provisionales de pérdidas debidas a la penetración en edificios.

CUADRO 6

Pérdidas debidas a la penetración en edificios⁽¹⁾, L_{be} , σ_{be}

F	Valor mediano, L_{be} (dB)	Desviación típica, σ_{be} (dB)
0,2 GHz	9	3
0,6 GHz	11	6
1,5 GHz	11	6

⁽¹⁾ Puede ser necesario actualizar estos valores una vez se tengan más valores experimentales.

Para frecuencias inferiores a 0,2 GHz, $L_{be} = 9$ dB, $\sigma_{be} = 3$ dB; para frecuencias superiores a 1,5 GHz, $L_{be} = 11$ dB, $\sigma_{be} = 6$ dB. Entre 0,2 GHz y 0,6 GHz (y entre 0,6 GHz y 1,5 GHz), se pueden obtener valores apropiados de L_{be} y σ_{be} mediante interpolación lineal entre los valores de L_{be} y σ_{be} presentados en el cuadro para 0,2 GHz y 0,6 GHz (0,6 GHz y 1,5 GHz).

El valor de la variación de la intensidad de campo para la recepción en interiores es la combinación de la variación en exteriores (σ_L) y la variación debida a la atenuación del edificio (σ_{be}). Lo más probable es que esas variaciones no estén correlacionadas. La desviación típica para la recepción en interiores (σ_i) puede, por tanto, calcularse como la raíz cuadrada de la suma de los cuadrados de las desviaciones típicas individuales.

$$\sigma_i = \sqrt{\sigma_L^2 + \sigma_{be}^2} \quad (58)$$

donde σ_L es la desviación típica de la variabilidad con la ubicación, de la ecuación (56) o del Cuadro 5.

Por ejemplo, para emisiones digitales con anchura de banda superior a 1 MHz, en las ondas métricas, donde las desviaciones típicas de la señal son 5,5 dB y 3 dB, respectivamente, el valor combinado es de 6,3 dB. En la banda IV/V, en la que las desviaciones típicas valen 5,5 dB y 6 dB, el valor combinado es de 8,1 dB.

4.10 Pérdidas de transmisión básicas no rebasadas durante el $p\%$ del tiempo en el $p_L\%$ de ubicaciones

Para calcular el porcentaje de ubicaciones deseado, el valor mediano de las pérdidas, L_{loc} , y la desviación típica, σ_{loc} , vienen dados por:

$$L_{loc} = 0 \quad (\text{exteriores}) \quad (59a)$$

$$L_{loc} = L_{be} \quad (\text{interiores}) \quad (59b)$$

y:

$$\sigma_{loc} = u(h) \cdot \sigma_L \quad (\text{exteriores}) \quad (60a)$$

$$\sigma_{loc} = \sigma_i \quad (\text{interiores}) \quad (60b)$$

donde los valores medianos de las pérdidas por penetración en el edificio, L_{be} , son los que figuran en el Cuadro 6, la función de altura, $u(h)$, es la de la ecuación (57) y las desviaciones típicas, σ_L y σ_i , son las dadas en la ecuación (56) (o en el Cuadro 5) y en la ecuación (58), respectivamente.

Las pérdidas de transmisión básicas no rebasadas durante el $p\%$ del tiempo en el $p_L\%$ de ubicaciones, L_b (dB), son:

$$L_b = \max \left\{ L_{b0p}, L_{bc} + L_{loc} - I \left(\frac{p_L}{100} \right) \cdot \sigma_{loc} \right\} \quad \text{dB} \quad (61)$$

donde:

- L_{b0p} : pérdidas de transmisión básicas no rebasadas durante el $p\%$ del tiempo en el 50% de las ubicaciones, relacionadas con la visibilidad directa y teniendo en cuenta las mejoras a corto plazo, dadas por la ecuación (10)
- L_{bc} : pérdidas de transmisión básicas no rebasadas durante el $p\%$ del tiempo en el 50% de las ubicaciones, incluidos los efectos de las pérdidas por ocupación del suelo en la ubicación del terminal, dadas por la ecuación (55)
- L_{loc} : valor mediano de las pérdidas dependientes de la ubicación, dadas por las ecuaciones (59a) y (59b)
- $I(x)$: distribución normal acumulativa complementaria inversa expresada como una función de probabilidad, x . En el Apéndice 3 de este Anexo se presenta una aproximación de $I(x)$ que puede utilizarse para $0,000001 \leq x \leq 0,999999$.
- σ_{loc} : desviación típica combinada (es decir, la correspondiente a las pérdidas por penetración en edificios y a la variabilidad con la ubicación), dada por las ecuaciones (60a) y (60b).

El porcentaje de ubicaciones, p_L , puede variar entre el 1% y el 99%. Este modelo no es válido para porcentajes de ubicaciones inferiores a 1% ni superiores al 99%.

4.11 Intensidad de campo rebasada durante el $p\%$ del tiempo en el $p_L\%$ de las ubicaciones

La intensidad de campo normalizada a 1 kW de potencia radiada aparente rebasada durante el $p\%$ del tiempo en el 50% de las ubicaciones, E_p dB(μ V/m), puede calcularse como sigue:

$$E_p = 199,36 + 20 \log(f) - L_b \quad \text{dB}(\mu\text{V/m}) \quad (62)$$

donde:

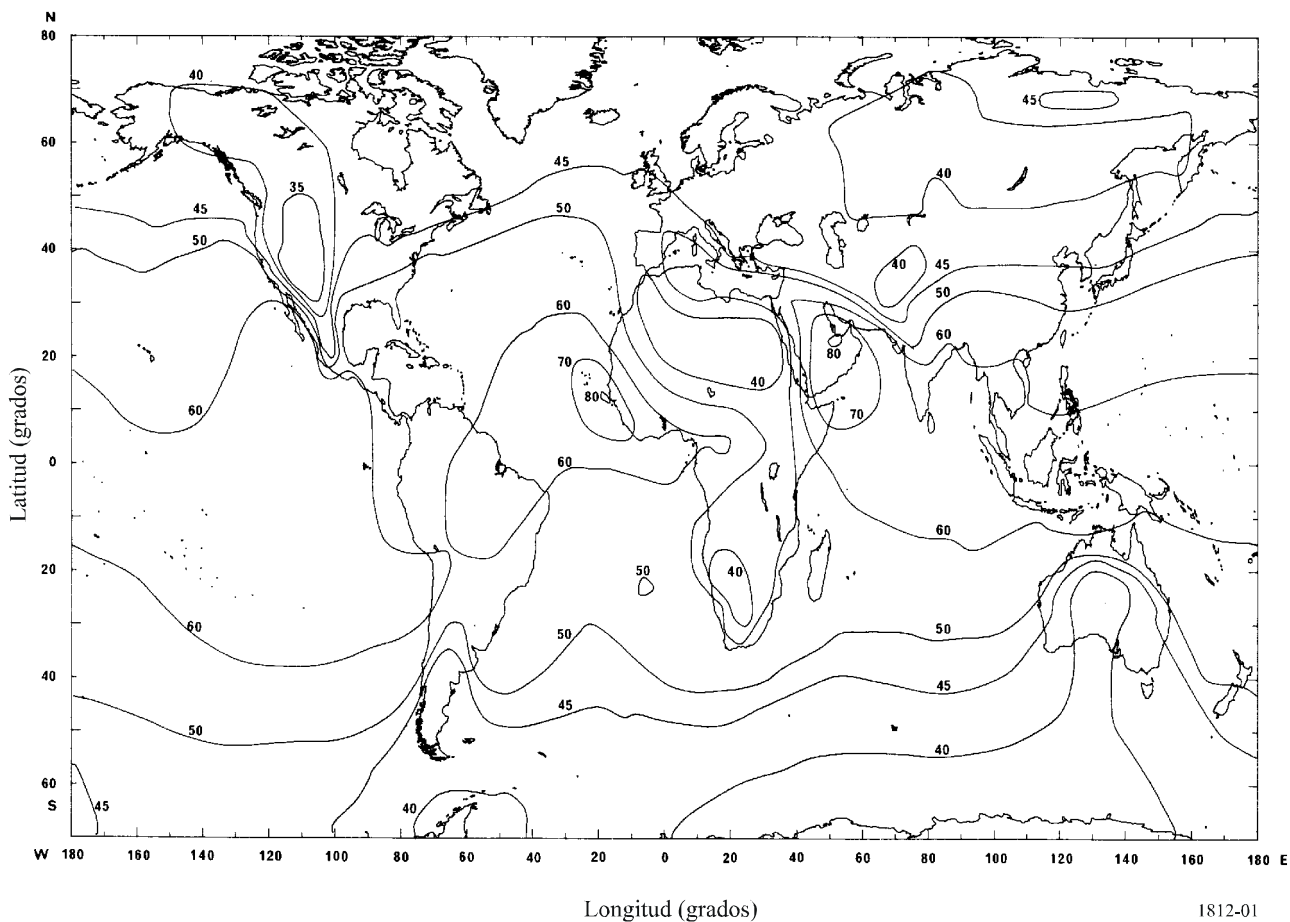
- L_b : pérdidas de transmisión básicas no rebasadas durante el $p\%$ del tiempo en el $p_L\%$ de ubicaciones, calculadas conforme a la ecuación (61)
- f : frecuencia requerida (GHz).

Apéndice 1 al Anexo 1

Datos meteorológicos necesarios para el procedimiento de predicción

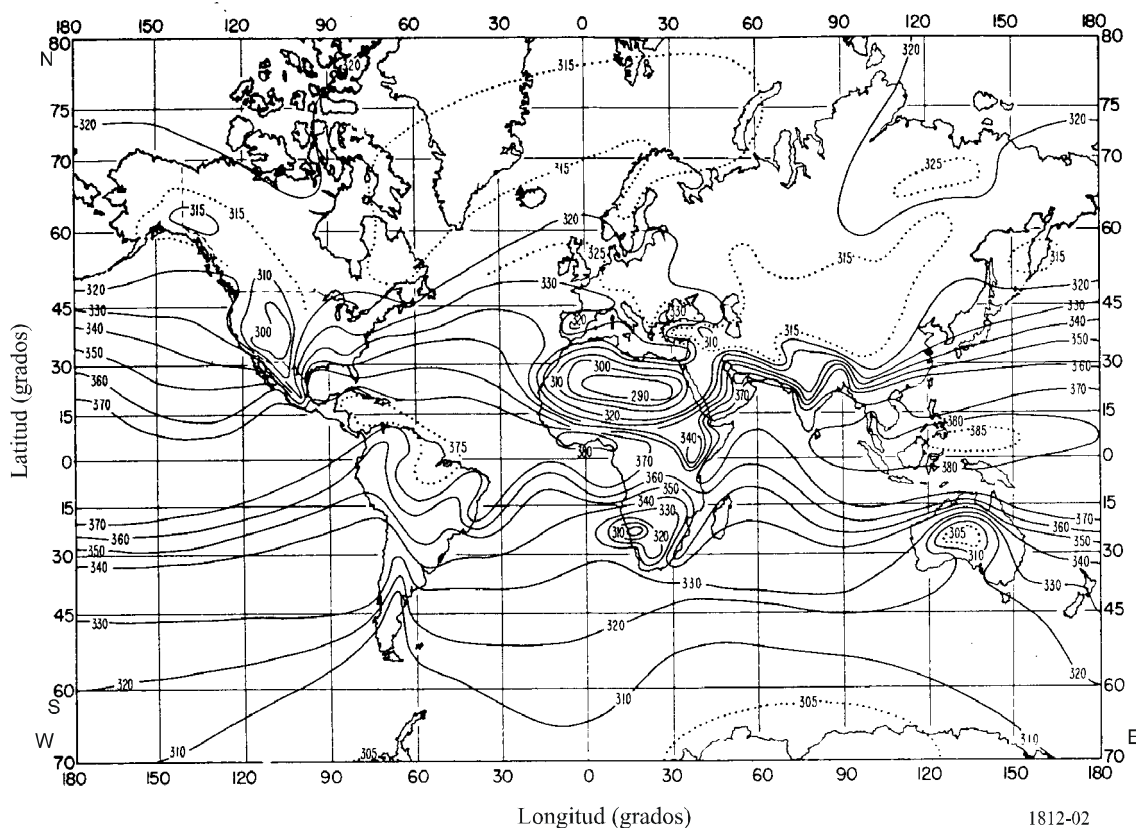
La Fig. 1 contiene los valores anuales medios de ΔN expresados como valores positivos de unidades N/km.

FIGURA 1
Valores anuales medios de ΔN , N/km



En la Fig. 2 se presentan los valores anuales medios de la refractividad de la superficie a nivel del mar, N_0 , en unidades N. El parámetro N_0 se utiliza sólo para la parte de dispersión troposférica del método general.

FIGURA 2
Refractividad de la superficie a nivel del mar, unidades N



Apéndice 2 al Anexo 1

Análisis del perfil del trayecto

1 Introducción

Para el análisis del perfil del trayecto, se necesita conocer el perfil del trayecto respecto a las elevaciones del terreno situadas por encima del nivel medio del mar. En el Cuadro 7 se presentan los parámetros que han de obtenerse del análisis del perfil del trayecto para establecer los modelos de propagación.

2 Construcción del perfil del trayecto

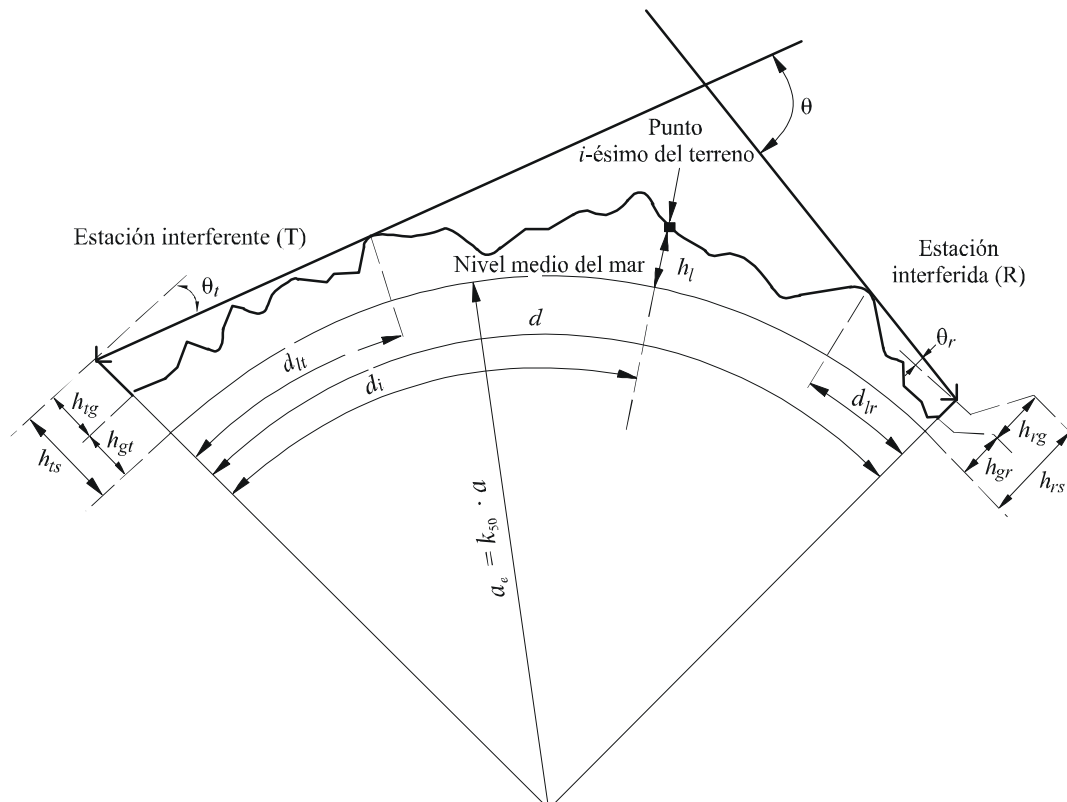
Ha de determinarse las elevaciones del terreno (sobre el nivel medio del mar) a lo largo del trayecto de círculo máximo, a partir de una base de datos topográfica o de los apropiados mapas de contorno a gran escala, con base en las coordenadas geográficas de las estaciones transmisora (ϕ_t, ψ_t) y receptora (ϕ_r, ψ_r). La resolución de distancia del perfil debe ser la mejor posible, a fin de que se registren las características significativas del terreno. Normalmente es adecuado un incremento de la distancia de 30 m a 1 km. En general, conviene utilizar incrementos de distancia mayores para

trayectos más largos. El perfil debe incluir las elevaciones del terreno de los emplazamientos de las estaciones transmisora y receptora en los puntos inicial y final. En las siguientes ecuaciones se tiene en cuenta la curvatura de la Tierra, si es necesario, basándose en el valor de a_e calculado mediante la ecuación (7a).

Aunque se consideran preferibles los puntos del perfil con separación uniforme, es posible utilizar el método empleando puntos del perfil con separación irregular. Ello puede resultar útil cuando el perfil se ha obtenido a partir de un mapa digital de los contornos de elevación del terreno. Sin embargo, debe señalarse que la presente Recomendación se ha elaborado a partir de pruebas realizadas utilizando puntos del perfil con separación uniforme; no se dispone de datos exactos sobre el efecto de los puntos separados de forma irregular.

Para los fines de la presente Recomendación, se considera que el punto del perfil del trayecto ubicado en la estación transmisora es el punto 1, y que el punto ubicado en la estación receptora es el punto n . Por lo tanto, el perfil del trayecto está compuesto por n puntos. En la Fig. 3 se presenta un ejemplo de un perfil de terreno de elevaciones del terreno sobre el nivel medio del mar, en el que se muestran los diversos parámetros relativos al terreno real.

FIGURA 3
Ejemplo de un perfil de trayecto transhorizonte



Nota 1 – El valor del ángulo θ_i representado será negativo.

1812-03

En el Cuadro 7 se definen los parámetros utilizados o deducidos en el análisis del perfil del trayecto.

CUADRO 7

Definiciones de los parámetros del perfil del trayecto

Parámetro	Descripción
a_e	Radio efectivo de la Tierra (km)
d	Distancia del trayecto de círculo máximo (km)
d_{ii}	Distancia incremental para los datos regulares (es decir, con separación uniforme) del perfil del trayecto (km)
f	Frecuencia (GHz)
λ	Longitud de onda (m)
h_{ts}	Altura de la antena transmisora (m) sobre el nivel medio del mar (snmm)
h_{rs}	Altura de la antena receptora (m) (snmm)
θ_t	Para los trayectos transhorizonte, el ángulo de elevación del horizonte por encima de la horizontal local (mrad), medido desde la antena transmisora. Para los trayectos con visibilidad directa, es el ángulo de elevación de la antena receptora.
θ_r	Para los trayectos transhorizonte, el ángulo de elevación del horizonte por encima de la horizontal local (mrad), medido desde la antena receptora. Para los trayectos con visibilidad directa, es el ángulo de elevación de la antena transmisora.
θ	Distancia angular del trayecto (mrad)
h_{st}	Altura de la superficie de la Tierra lisa (snmm) en el emplazamiento de la estación transmisora (m)
h_{sr}	Altura de la superficie de la Tierra lisa (snmm) en el emplazamiento de la estación receptora (m)
h_i	Altura del i -ésimo punto del terreno snmm (m) h_t : altura del transmisor sobre el suelo h_n : altura del receptor sobre el suelo
h_m	Rugosidad del terreno (m)
h_{te}	Altura efectiva de la antena transmisora (m)
h_{re}	Altura efectiva de la antena receptora (m)

3 Longitud del trayecto

Puede hallarse la longitud del trayecto utilizando la geometría de círculo máximo a partir de las coordenadas geográficas de las estaciones transmisora (ϕ_t, ψ_t) y receptora (ϕ_r, ψ_r). La longitud del trayecto puede obtenerse también a partir del perfil del trayecto. La longitud del trayecto, d (km), se puede calcular a partir de los datos del perfil del trayecto:

$$d = d_n \quad \text{km} \quad (63)$$

En el caso de datos de perfil de trayecto con espaciado uniforme, también se cumple que:

$$d_i = (i-1) \cdot d_{ii} \quad \text{km} \quad (64)$$

para $i = 1, \dots, n$, donde d_{ii} es la distancia incremental del trayecto (km).

4 Clasificación del trayecto

Debe utilizarse el perfil del trayecto para determinar si se trata de un trayecto con visibilidad directa o transhorizonte, basado en el valor mediano del radio efectivo de la Tierra, a_e , expresado en la ecuación (7a).

Se trata de un trayecto transhorizonte si el ángulo físico de elevación sobre el horizonte, visto desde la antena transmisora (con respecto a la horizontal local) es mayor que el ángulo (también con respecto a la horizontal local del transmisor) subtendido por la antena receptora.

Por tanto, la prueba de si se trata de un trayecto transhorizonte es:

$$\theta_{m\acute{a}x} > \theta_{td} \quad \text{mrad} \quad (65)$$

donde:

$$\theta_{m\acute{a}x} = \max_{i=2}^{n-1} (\theta_i) \quad \text{mrad} \quad (66)$$

θ_i : ángulo de elevación del i -ésimo punto del terreno

$$\theta_i = \frac{h_i - h_{ts}}{d_i} - \frac{10^3 d_i}{2 a_e} \quad \text{mrad} \quad (67)$$

donde:

h_i : altura del i -ésimo punto del terreno (m) snmm

h_{ts} : altura de la antena transmisora (m) snmm

d_i : distancia desde el transmisor al i -ésimo elemento del terreno (km)

$$\theta_{td} = \frac{h_{rs} - h_{ts}}{d} - \frac{10^3 d}{2 a_e} \quad \text{mrad} \quad (68)$$

donde:

h_{rs} : altura de la antena receptora (m) snmm

d : distancia total del trayecto sobre el círculo máximo (km)

a_e : radio efectivo de la Tierra apropiado para el trayecto (ecuación (7a)).

5 Deducción de parámetros a partir del perfil del trayecto

5.1 Todos los trayectos

Los parámetros que han de deducirse del trayecto son los que figuran en el Cuadro 7.

5.1.1 Ángulo de elevación sobre el horizonte de la antena transmisora, θ_t

El ángulo de elevación sobre el horizonte de la antena transmisora es el máximo ángulo de elevación sobre el horizonte que resulta al aplicar la ecuación (66) a las $n - 2$ elevaciones del perfil del terreno.

$$\theta_t = \max(\theta_{m\acute{a}x}, \theta_{td}) \quad \text{mrad} \quad (69)$$

en que $\theta_{m\acute{a}x}$ se determina de acuerdo con la ecuación (66).

5.1.2 Distancia al horizonte de la antena transmisora, d_{lt}

La distancia al horizonte es la mínima distancia desde el transmisor para la que se calcula el máximo ángulo de elevación de la antena con respecto al horizonte, según la ecuación (66).

$$d_{lt} = d_i \quad \text{km} \quad \text{para máx}(\theta_i) \quad (70)$$

De no detectarse un horizonte, se fija $d_{lt} = d_{im50}$ (véase el § 4.3.1).

5.1.3 Ángulo de elevación sobre el horizonte de la antena receptora, θ_r

De no detectarse un horizonte ($\theta_i = \theta_{id}$), se fija:

$$\theta_r = \frac{h_{ts} - h_{rs}}{d} - 10^3 \frac{d}{2a_e} \quad \text{mrad} \quad (71)$$

No obstante, si se detecta el horizonte de transmisión, el ángulo de elevación sobre el horizonte de la antena receptora es el máximo ángulo de elevación sobre el horizonte de la antena una vez se aplique la ecuación (66) a las $n - 2$ elevaciones del perfil del terreno.

$$\theta_r = \max_{j=2}^{n-1}(\theta_j) \quad \text{mrad} \quad (72)$$

$$\theta_j = \frac{h_j - h_{rs}}{d - d_j} - \frac{10^3 (d - d_j)}{2a_e} \quad \text{mrad} \quad (72a)$$

5.1.4 Distancia al horizonte de la antena receptora, d_{lr}

La distancia al horizonte es la mínima distancia desde el receptor para la que se calcula el máximo ángulo de elevación de la antena con respecto al horizonte, según la ecuación (64).

$$d_{lr} = d - d_j \quad \text{km} \quad \text{para máx}(\theta_j) \quad (73)$$

De no detectarse un horizonte, se fija $d_{lr} = d - d_{im50}$ (véase el § 4.3.1).

5.1.5 Distancia angular θ (mrad)

$$\theta = \frac{10^3 d}{a_e} + \theta_t + \theta_r \quad \text{mrad} \quad (74)$$

5.1.6 Modelo de «Tierra lisa» y alturas efectivas de la antena

5.1.6.1 Generalidades

Para determinar las alturas efectivas de la antena y realizar una valoración apropiada de la irregularidad del trayecto es preciso obtener una superficie efectiva de «Tierra lisa» como plano de referencia sobre el cual se considera que existe el terreno rugoso del trayecto. Una vez obtenida ésta, pueden obtenerse los valores del parámetro de rugosidad del terreno (véase el § 5.1.6.4) y de las alturas efectivas de antena para las estaciones transmisora y receptora.

5.1.6.2 Excepciones

Para los trayectos «marítimos» directos (es decir, para $\omega \geq 0,9$), y cuando los dos horizontes de antena caen en la superficie del mar, puede omitirse la obtención del cálculo de la superficie de Tierra lisa si se desea. En este caso, puede considerarse como plano de referencia un nivel medio del mar (o del agua) a lo largo de todo el trayecto, puede suponerse una rugosidad del terreno de 0 m, y las alturas efectivas de antena equivaldrán a las alturas reales por encima de la superficie del mar.

Para todos los demás trayectos es necesario aplicar el procedimiento de aproximación del terreno de Tierra lisa detallado en el § 5.1 y obtener las alturas efectivas de antena y la irregularidad del terreno como se indica en el § 5.1.6.4.

5.1.6.3 Obtención de la superficie de Tierra lisa

Una aproximación en línea recta de las alturas del terreno por encima del nivel medio del mar se obtendrá de la fórmula:

$$h_{si} = h_{st} + m \cdot d_i \quad \text{m} \quad (75)$$

donde:

- h_{si} : altura snmm (m), de la superficie ajustada por mínimos cuadrados y situada a una distancia d_i (km) de la fuente de interferencia
- h_{st} : altura snmm (m), de la superficie de la Tierra lisa en el origen del trayecto, es decir, en la estación transmisora
- m : pendiente (m/km) de la superficie ajustada por mínimos cuadrados con respecto al nivel del mar.

Se dispone de métodos alternativos para los dos pasos siguientes del cálculo. Pueden utilizarse las ecuaciones (76a) y (77a) si los puntos del perfil están separados uniformemente. Las ecuaciones (76b) y (77b), más complicadas, deben utilizarse si los puntos del perfil no están separados de manera uniforme, y pueden utilizarse asimismo en el otro caso.

Para perfiles con puntos separados uniformemente:

$$m = \frac{\sum_{i=1}^n (h_i - h_a) \left(d_i - \frac{d}{2} \right)}{\sum_{i=1}^n \left(d_i - \frac{d}{2} \right)^2} \quad \text{m/km} \quad (76a)$$

Para cualquier perfil:

$$m = \left(\frac{1}{d^3} \right) \sum_{i=2}^n 3(d_i - d_{i-1})(d_i + d_{i-1} - d)(h_i + h_{i-1} - 2h_a) + (d_i - d_{i-1})^2 (h_i - h_{i-1}) \quad \text{m/km} \quad (76b)$$

donde:

h_i : altura real (snmm) del punto i -ésimo del terreno (m)

h_a : media de las alturas reales (snmm) del trayecto desde h_0 a h_n ambas inclusive (m), que viene dada por:

Para perfiles con puntos separados uniformemente:

$$h_a = \frac{1}{n} \sum_{i=1}^n h_i \quad \text{m} \quad (77a)$$

Para cualquier perfil se calcula una media ponderada:

$$h_a = \left(\frac{1}{2d} \right) \sum_{i=2}^n (d_i - d_{i-1})(h_i + h_{i-1}) \quad \text{m} \quad (77b)$$

La elevación de la superficie de Tierra lisa en la estación transmisora, h_{st} , viene dada por:

$$h_{st} = h_a - m \frac{d}{2} \quad \text{m} \quad (78)$$

y por tanto, la altura de la superficie de Tierra lisa en la estación receptora, h_{sr} , viene dada por:

$$h_{sr} = h_{st} + m \cdot d \quad \text{m} \quad (79)$$

Hay que realizar una corrección si las alturas de Tierra lisa se sitúan por encima de la altura real del terreno, es decir:

$$h_{st} = \text{mín}(h_{st}, h_1) \quad \text{m} \quad (80a)$$

$$h_{sr} = \text{mín}(h_{sr}, h_n) \quad \text{m} \quad (80b)$$

Si se modifica h_{st} o h_{sr} , o ambas, por las ecuaciones (80a) o (80b), entonces la pendiente, m , de la superficie de Tierra lisa también debe corregirse:

$$m = \frac{h_{sr} - h_{st}}{d} \quad \text{m/km} \quad (81)$$

Las alturas efectivas de los terminales, h_{te} y h_{re} , vienen dadas por:

$$\begin{aligned} h_{te} &= h_{tg} + h_1 - h_{st} & \text{m} \\ h_{re} &= h_{rg} + h_n - h_{sr} \end{aligned} \quad (82)$$

5.1.6.4 Rugosidad del terreno, h_m

El parámetro de irregularidad del terreno, h_m (m), es la altura máxima del terreno correspondiente a la superficie de Tierra lisa, en la sección del trayecto que se extiende entre los puntos del horizonte; comprendidos dichos puntos:

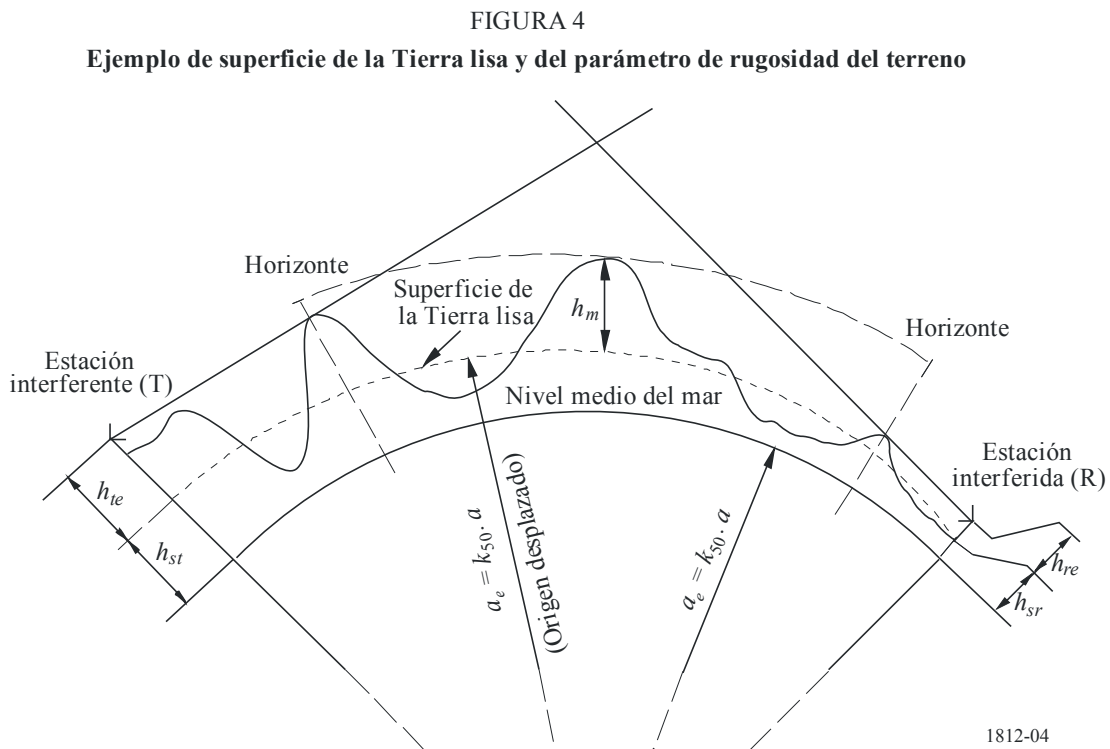
$$h_m = \max_{i=i_{lt}}^{i=i_{lr}} [h_i - (h_{st} + m \cdot d_i)] \quad \text{m} \quad (83)$$

donde:

i_{lt} : índice del punto del perfil situado a la distancia d_{lt} del transmisor

i_{lr} : índice del punto del perfil situado a la distancia d_{lr} del receptor.

En la Fig. 4 se ilustran la superficie de Tierra lisa y el parámetro h_m de rugosidad del terreno.



Apéndice 3 al Anexo 1

Una aproximación a la función de distribución normal acumulativa complementaria inversa

La siguiente aproximación a la función de distribución normal acumulativa complementaria inversa es válida para $0,000001 \leq x \leq 0,999999$ y tiene un margen de error máximo de 0,00054. Si $x < 0,000001$, lo que implica que $\beta_0 < 0,0001\%$, x debe fijarse a 0,000001. Algo similar se cumple si $x > 0,999999$. Esta aproximación es fiable en la función de interpolación de las ecuaciones (30b) y (49) y en la ecuación (61). No obstante, en la última de estas ecuaciones, el valor de x debe limitarse a $0,01 \leq x \leq 0,99$.

La función $I(x)$ viene dada por:

$$I(x) = T(x) - \xi(x) \quad \text{para } 0,000001 \leq x \leq 0,5 \quad (84a)$$

y, por simetría:

$$I(x) = \xi(1-x) - T(1-x) \quad \text{para } 0,5 < x \leq 0,999999 \quad (84b)$$

donde:

$$T(x) = \sqrt{[-2 \ln(x)]} \quad (85a)$$

$$\xi(x) = \frac{[(C_2 \cdot T(x) + C_1) \cdot T(x)] + C_0}{[(D_3 \cdot T(x) + D_2) T(x) + D_1] T(x) + 1} \quad (85b)$$

$$C_0 = 2,515516698 \quad (85c)$$

$$C_1 = 0,802853 \quad (85d)$$

$$C_2 = 0,010328 \quad (85e)$$

$$D_1 = 1,432788 \quad (85f)$$

$$D_2 = 0,189269 \quad (85g)$$

$$D_3 = 0,001308 \quad (85h)$$